

분기 및 접합형태를 갖는 대기행렬 모형의 근사적인 분석

An Approximate Analysis of the Fork-Join Queue

양원석*, 채경철**

W. S. Yang*, K. C. Chae**

Abstract

We present an approximate algorithmic approach for the m -server fork-join queueing system with infinite queue capacity. We analyze the system size and queue waiting time. We assume Poisson arrival process and independent exponential service times.

1. 서론

분기 및 접합형태를 갖는 대기행렬 모형 (fork-join queue)은 m 개의 병렬 채널(parallel channel)로 구성되어 있고 각 채널은 1명의 서버(server)와 대기장소로 구성되어 있다 (그림 1 참조).

도착과정은 m 명씩 구성된 집단이 포아송 과정에 따라 도착하며, 시스템에 도착한 집단은 각 고객으로 분해된 후 각 채널에서 1명씩 서비스를 받는다. 서비스를 마친 고객은 크기가 무한대인 가상적인 공간에서 아직

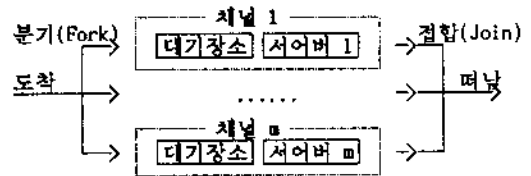


그림 1. 분기 및 접합형태를 갖는 대기행렬 모형

서비스를 못 끝낸(동일 집단에 속한) 다른 고객들을 기다린다고 가정한다. 집단내의 모든 고객들이 서비스를 받으면 이 집단은 시스템을 떠난다. 서비스 시간은 서로 독립인 지수

* 한국과학기술원 산업경영학과 박사과정

** 한국과학기술원 산업경영학과 교수

분포를 따른다고 가정한다.

분기 및 접합형태를 갖는 대기행렬 모형은 병렬처리(parallel processing), 유연생산(flexible manufacturing), 데이터베이스(database) 그리고 통신시스템등 여러 분야에 응용된다 [1,3,4,6,7,8]. 2-채널 시스템은 라플라스 변환을 통해 정확하게 분석되었다 [1,2,14]. 그러나 3-채널 이상의 시스템은 체류시간(sojourn time)만이 근사적으로 분석되었다 [3,4,8].

본 논문에서는 행렬기하(matrix-geometric) 방법에 기초하여 각 채널의 용량이 무한대인 분기 및 접합형태를 갖는 대기행렬 모형의 각 채널내 고객수의 안정상태 확률과 대기시간(queue waiting time)을 근사적으로 분석한다.

2. 수학적 모형: QBD 모형

본 논문에서 다루는 QBD(quasi-birth-and-death) 모형은 다음과 같다: m 명의 고객으로 구성된 집단이 도착률이 λ 인 포아송과정에 따라 도착한다. 채널 j 서버의 서비스 시간은 서비스율이 μ_j 인 지수분포를 따르고 각 서버의 서비스 시간은 서로 독립이다. 서비스 정책은 선입선출방식(FIFO)이다. 채널 1의 용량은 무한대이고 나머지 채널들의 용량은 유한인 K 이다. 채널 2, ..., m 중 적어도 한 곳이 꽉 차있는 상태에 도착한 집단은 시스템에 입장하지 못하고 바로 시스템을 떠난다고 가정한다.

이러한 가정 하에서 각 채널당 고객수의 추계적 과정은 유사 출생사망과정(QBD process)이 되며 행렬기하(matrix-geometric) 방법 [9]을 통해 수치적(numerical)으로 분석할 수

있다. λ 에 따라 K 가 충분히 크면 시스템에 입장을 못하는 고객의 비율이 작아지기 때문에 QBD 모형을 각 채널의 용량이 무한대인 분기 및 접합형태를 갖는 대기행렬 모형의 근사모형으로 이용할 수 있다. QBD 모형은 Rao와 Posner [10]의 모형을 일반화한 것이다. (Rao와 Posner는 $m=2$ 인 경우를 다루었음.)

안정상태에서 시스템 상태(state)를 벡터 $n = (n_1, \dots, n_m)$ 으로, 상태 n 에서 상태 n' 으로의 전이율(transition rate)을 $q_{n,n'}$ 으로 표기한다. 여기에서 n_j 는 채널 j 에 있는 고객수이다, $n_i \geq 0, 0 \leq n_j \leq K, j=2, \dots, m$. 편의상 상태공간(state space) $\{(i, n_2, \dots, n_m) | 0 \leq n_j \leq K, j=2, \dots, m\}$ 을 초상태(superstate) i 라 부르고 i 라 표기한다. 그리고 다음과 같은 지수(indicator) 함수를 정의한다.

$$\delta(A) = \begin{cases} 1 & \text{조건 } A \text{를 만족한다} \\ 0 & \text{o/w} \end{cases}$$

0이 아닌 전이율은 다음과 같은 세 가지 형태로 분류된다.

(i) S_i 에서 S_{i+1} 로의 전이

$$q_{(n_1, \dots, n_m), (n_1+1, \dots, n_m)} = \lambda \delta(n_j < K, j=2, \dots, m)$$

(ii) S_i 에서 S_{i-1} 로의 전이

$$q_{(n_1, \dots, n_m), (n_1-1, n_2, \dots, n_m)} = \mu_1 \delta(n_1 > 0)$$

(ii) S_i 에서 S_j 로의 전이

$$q_{(n_1, \dots, n_j, \dots, n_m), (n_1, \dots, n_j-1, \dots, n_m)} = \mu_j \delta(n_j > 0), j=2, \dots, m.$$

$$q_{n,n} = -[\lambda \delta(n_j < K, j=2, \dots, m) + \sum_{j=1}^m \mu_j \delta(n_j > 0)]$$

먼저, 상태들을 초상태의 순서로 늘어놓는다. (즉, n_1 에 대해 오름차순으로 늘어놓는다.) 그리고 초상태내의 상태들을 각각 n_2, n_3, \dots 에 대해 오름차순으로 늘어놓는다. 그러면 무한소 생성자(infinitesimal generator) Q 는 다음과

같이 표현된다.

$$Q = \begin{bmatrix} A_- + A_0 & A_+ & 0 & 0 & \cdots \\ A_- & A_0 & A_+ & 0 & \cdots \\ 0 & A_- & A_0 & A_+ & \cdots \\ 0 & 0 & A_- & A_0 & \cdots \\ \vdots & \vdots & \vdots & \vdots & \ddots \end{bmatrix} \quad (1)$$

여기에서 A_- , A_0 , A_+ 는 크기가 $(K+1)^{m-1}$ 인 정방행렬이다. $i=1,2,\dots$ 에 대해, A_+ 는 S_i 에서 S_{i+1} , A_0 는 S_i 에서 S_i 그리고 A_- 는 S_i 에서 S_{i-1} 로의 전이율 행렬이다. 아울러 $A_- + A_0$ 는 S_0 에서 S_0 로의 전이율 행렬이다. 예를 들어, $m=3$ 이고 $K=2$ 일 때 A_0 , A_+ 그리고 A_- 는 다음과 같다:(편의상 $\mu = \mu_1 + \mu_2 + \mu_3$ 라 함.)

$$A_0 = \begin{bmatrix} -(\lambda + \mu_1) & 0 & 0 & 0 & 0 & 0 & 0 & 0 & 0 \\ \mu_3 & -(\lambda + \mu_1 + \mu_3) & 0 & 0 & 0 & 0 & 0 & 0 & 0 \\ 0 & \mu_3 & -(\mu_1 + \mu_3) & 0 & 0 & 0 & 0 & 0 & 0 \\ \mu_2 & 0 & 0 & -(\lambda + \mu_1 + \mu_2) & 0 & 0 & 0 & 0 & 0 \\ 0 & \mu_2 & 0 & \mu_3 & -(\lambda + \mu) & 0 & 0 & 0 & 0 \\ 0 & 0 & \mu_2 & 0 & \mu_3 & -\mu & 0 & 0 & 0 \\ 0 & 0 & 0 & \mu_2 & 0 & 0 & -(\mu_1 + \mu_2) & 0 & 0 \\ 0 & 0 & 0 & 0 & \mu_2 & 0 & \mu_3 & -\mu & 0 \\ 0 & 0 & 0 & 0 & 0 & \mu_2 & 0 & \mu_3 & -\mu \end{bmatrix}$$

$$A_+ = \begin{bmatrix} 0 & 0 & 0 & 0 & \lambda & 0 & 0 & 0 & 0 \\ 0 & 0 & 0 & 0 & 0 & \lambda & 0 & 0 & 0 \\ 0 & 0 & 0 & 0 & 0 & 0 & 0 & 0 & 0 \\ 0 & 0 & 0 & 0 & 0 & 0 & 0 & \lambda & 0 \\ 0 & 0 & 0 & 0 & 0 & 0 & 0 & 0 & \lambda \\ 0 & 0 & 0 & 0 & 0 & 0 & 0 & 0 & 0 \\ 0 & 0 & 0 & 0 & 0 & 0 & 0 & 0 & 0 \\ 0 & 0 & 0 & 0 & 0 & 0 & 0 & 0 & 0 \\ 0 & 0 & 0 & 0 & 0 & 0 & 0 & 0 & 0 \end{bmatrix}$$

$$A_- = \begin{bmatrix} \mu_1 & 0 & 0 & 0 & 0 & 0 & 0 & 0 & 0 \\ 0 & \mu_1 & 0 & 0 & 0 & 0 & 0 & 0 & 0 \\ 0 & 0 & \mu_1 & 0 & 0 & 0 & 0 & 0 & 0 \\ 0 & 0 & 0 & \mu_1 & 0 & 0 & 0 & 0 & 0 \\ 0 & 0 & 0 & 0 & \mu_1 & 0 & 0 & 0 & 0 \\ 0 & 0 & 0 & 0 & 0 & \mu_1 & 0 & 0 & 0 \\ 0 & 0 & 0 & 0 & 0 & 0 & \mu_1 & 0 & 0 \\ 0 & 0 & 0 & 0 & 0 & 0 & 0 & \mu_1 & 0 \\ 0 & 0 & 0 & 0 & 0 & 0 & 0 & 0 & \mu \end{bmatrix}$$

Remark 1: 본 논문에서는 분석의 편의상 각 채널의 용량을 모두 같게 하였다. 그러나 각 채널의 용량이 $K_j(j=2,\dots,m)$ 로 서로 다른

경우에도 무한소 생성자는 식 (1)과 같은 형태로 표현된다. 이 경우 행렬 A_- , A_0 그리고 A_+ 는 크기가 $\prod_{j=2}^m (K_j+1)$ 인 정방행렬이다.

식 (1)의 Q 와 같은 구조를 갖는 연속적 마코프사슬(continuous time Markov chain)을 유사 출생사망과정이라 부른다 [9]. 안정상태에서 시스템의 상태가 상태 (n_1, \dots, n_m) 에 있을 확률을 $x_{(n_1, \dots, n_m)}$ 이라 표기한다. 그리고 초상태 S_i 에 속하는 상태들의 안정상태 확률을 원소로 갖는 행벡터(row vector)를 x_i 로 표기한다. 즉, $x_i = (x_{(i,0, \dots, 0)}, \dots, x_{(i,K, \dots, K)})$ 이다.

QBD 모형은

$$\lambda(1 - P_b) < \mu, \tag{2}$$

일 때 안정(stable)하다(증명은 부록 참조). 여기에서 P_b 는 고객이 시스템에 입장하지 못할 차단확률(blocking probability)로 $P_b = 1 - \sum_{n_1=0}^{\infty} \sum_{n_2=0}^{K-1} \dots \sum_{n_m=0}^{K-1} x_{(n_1, \dots, n_m)}$ 이다.

Remark 2: QBD 모형의 각 채널을 독립적으로 관찰하면, 채널 1은 용량이 무한대인 단일 서어버 대기행렬 모형(single server queue)이고 채널 2, ..., m 은 용량이 유한인 단일 서어버 대기행렬 모형이다. 채널 2, ..., m 은 용량이 유한이므로 자체적으로 안정하나 채널 1은 실질도착률(effective arrival rate) $\lambda(1 - P_b)$ 가 서비스율 μ ,보다 작아야 안정하다. 즉, 식 (2)는 채널 1이 안정할 때 전체 시스템이 안정함을 의미한다.

Remark 3: 차단확률은 $P_b = 1 - \sum_{n_1=0}^{\infty} \sum_{n_2=0}^{K-1} \dots \sum_{n_m=0}^{K-1} x_{(n_1, \dots, n_m)}$ 이므로 $x_{(n_1, \dots, n_m)}$ 으로 부터 쉽게 구할 수 있다. 그리고 P_b 가 충분히 작으면 QBD 모형은 각 채널의 용량이 무한대인 시스템의 근사적인 효과를 나타낸다.

QBD 모형의 안정상태 확률벡터 x_i 는

$$x_i = x_0 R^i, \quad i=1,2,\dots$$

를 만족시킨다. 행렬 R 은 $R^2 A_- + R A_0 + A_+ = 0$ 의 비음최소해(nonnegative minimal solution)이고 다음과 같은 반복적인 절차를 통해 구할 수 있다 [9].

$$\begin{aligned} R_0 &= 0 \\ R_{k+1} &= -A_+ A_0^{-1} - R_k^2 A_- A_0^{-1}, \quad k=0,1,\dots \end{aligned}$$

그리고 x_0 는 다음 두 식에 의해 결정된다.

$$\begin{aligned} x_0[(A_- + A_0) + R A_-] &= 0 \\ x_0(I - R)^{-1} e &= 1 \end{aligned}$$

여기에서 e 는 원소들이 모두 1인 열벡터(column vector)이다.

2.1 시스템내 집단수

N_j 를 채널 j 에 있는 고객수 그리고 N 을 시스템내 집단수라고 하자. $N = \max(N_1, \dots, N_m)$ 이므로 안정상태에서 시스템내 집단수의 확률은 다음과 같이 표현된다.

$$P[N=k] = \begin{cases} x_{(0, \dots, 0)} & k=0 \\ \sum_{n_1=0}^k \dots \sum_{n_m=0}^k x_{(n_1, \dots, n_m)} - \sum_{j=1}^k P[N=j] & 1 \leq k \leq K-1 \\ x_i e & k \geq K \end{cases} \tag{3}$$

그리고 시스템내 집단수 분포의 j 번째 모멘트(moment) $E[N^{(j)}]$ 는 식 (3)으로 부터 직접 구할 수 있다, $j=1, \dots$.

Remark 4: P_b 가 충분히 작지 않은 경우에는 $E[N]$ 을 각 채널의 용량이 무한대인 분기 및 집합형태를 갖는 시스템의 평균 집단수의 하한치(low bound)로 이용할 수 있다.

3. 대기시간

본 논문에서는 분기 및 집합형태를 갖는 대기행렬 모형의 대기시간(queue waiting time)을 집단이 시스템에 도착(arrival)한 시점부터 집단내의 모든 (고객중에서 마지막으로 서비스를 받기 시작하게 되는) 고객이 서비스를 받기 직전까지의 시간으로 정의한다. $W_Q(\cdot)$ 를 도착시점에서 대기시간의 분포라고 하면, PASTA [13]에 의해, $W_Q(\cdot)$ 는 가상 대기시간(virtual queue waiting time)의 분포이기도 하다.

도착하는 집단의 관점에서 대기시간은, 집단의 도착 이후 더 이상의 도착이 없다는 가정하에서, 도착 시점부터 시스템내 고객수가 0이 되기 직전까지의 시간, 즉, 시스템 상태가 도착 상태에서 상태 $(0, \dots, 0)$ 로 흡수되기 직전까지의 시간이다. 3.1 절에서는 조건부 평균 대기시간의 축차관계식을 이용하여 평균 대기시간을 구한다. 그리고 3.2절에서는 흡수 연속 마코프사슬(absorbing continuous time Markov chain)을 이용하여 대기시간의 LST (Laplace-Stieltjes transform)와 평균 대기시간을 구한다.

3.1 평균 대기시간

시스템 상태가 (n_1, \dots, n_m) 일 때 도착한 임의 집단의 조건부 평균 대기시간을 $w_Q(n_1, \dots, n_m)$ 라 하자. 채널 $2, \dots, m$ 중 적어도 한 곳이 팍

차있는 상태에 도착한 집단은 시스템에 입장하지 못하므로 $w_Q(n_1, \dots, n_m)$ 은 $n_1 \geq 0, 0 \leq n_j < K$ 에서 정의된다. 어느 채널에서 먼저 서비스가 끝났는가에 조건을 걸면 조건부 평균 대기시간은 다음과 같은 축차관계식으로 표현된다.

$$w_Q(n_1, \dots, n_m) = \sum_{k=1}^m \frac{\delta(n_k > 0) \mu_k}{\mu_M} w_Q(v_1, \dots, v_m) + \frac{1}{\mu_M} \quad (4)$$

여기에서

$$\mu_M = \sum_{j=1}^m \delta(n_j > 0) \mu_j, \quad v_j = \begin{cases} (n_j - 1) \delta(n_j > 0) & : j = k \\ n_j & : j \neq k, \end{cases}$$

$j = 1, \dots, m$ 이고 $w_Q(0, \dots, 0) = 0$ 이다. PASTA [13]에 의해 임의 집단이 도착한 시점에서의 각 채널당 고객수의 분포는 $x_{(n_1, \dots, n_m)}$ 이므로 평균 대기시간은 다음과 같이 표현된다.

$$E[W_Q] = \sum_{n_1=0}^{\infty} \sum_{n_2=0}^{K-1} \dots \sum_{n_m=0}^{K-1} x_{(n_1, \dots, n_m)} w_Q(n_1, \dots, n_m) \quad (5)$$

3.2 대기시간의 LST와 평균 대기시간

$(0, \dots, 0)$ 을 흡수 상태로 갖는 흡수 연속 마코프사슬 $\{Y(t), t \geq 0\}$ 를 생각해 보자. 여기에서 $Y(t)$ 는 시점 t 에서 시스템의 상태(각 채널당 고객수)이고 도착시점이 시간 0으로 정의된다. 이 마코프사슬의 무한소 생성자는 다음과 같다.

$$\tilde{Q} = \begin{bmatrix} C & 0 & 0 & 0 & \dots \\ A' & D & 0 & 0 & \dots \\ 0 & A & D & 0 & \dots \\ 0 & 0 & A & D & \dots \\ \vdots & \vdots & \vdots & \vdots & \ddots \end{bmatrix} \quad (6)$$

이때, \tilde{Q} 는 식 (1)에서 λ 를 0으로 한 것이다. 그리고 A' 과 A 는 식 (1)의 A_- 와 같다. 행렬 C 와 A' 은 각각 $C = \begin{bmatrix} 0 & 0 \\ b_1 & C_1 \end{bmatrix}$ 그리고 $A' = [b_2 C_2]$ 로 분해된다. 여기에서 b_1 과 b_2 는 각각 크기가 $(K+1)^m - 1$, $(K+1)^m$ 인 열벡터이다. 또한 C_1 은 크기가 $[(K+1)^m - 1]$ 인 정방행렬이고 C_2 는 크기가 $(K+1)^m \times [(K+1)^m - 1]$ 인 행렬이다.

시점 t 에서 시스템 상태가 상태 (n_1, \dots, n_m) 에 있을 확률을 $y_{(n_1, \dots, n_m)}(t)$ 로 표기하고 $y_i(t) = (y_{(n_1, \dots, n_m)}(t) | n_i = i)$, $y(t) = [y_0(t), y_1(t), \dots]$ 라 하자. 여기에서 n_j 는 채널 j 에 있는 고객수이고 $n_i \geq 0$, $0 \leq n_j \leq K$, $j = 2, \dots, m$ 이다. 그리고 $y_i(t)$ 의 원소 $y_{(i, n_2, \dots, n_m)}(t)$ 들은 n_2, n_3, \dots 에 대해 오름차순으로 정렬되었다. PASTA [13]에 의해 초기조건은 $y(0) = [x_0, x_1, \dots]$ 으로 주어진다.

시스템에 도착한 임의 집단의 대기시간은 $\{Y(t)\}$ 가 시점 0에서 시작하여 상태 $(0, \dots, 0)$ 로 흡수되기 직전까지의 시간이므로 대기시간의 분포 $W_Q(t)$ 는 다음과 같이 표현된다.

$$W_Q(t) = y_{(0, \dots, 0)}(t) \tag{7}$$

Kolmogorov forward 미분 방정식 $y'(t) = y(t)Q$ 로 부터 다음을 얻는다.

$$z_0'(t) = z(t)b_1 + y_1(t)b_2 \tag{8.1}$$

$$z'(t) = z(t)C_1 + y_1(t)C_2 \tag{8.2}$$

$$y'_k(t) = y_k(t)D + y_{k+1}(t)A \quad k \geq 1, t \geq 0 \tag{8.3}$$

여기에서 $y_0(t) = [z_0(t), z(t)]$, $z_0(t) = y_{(0, \dots, 0)}(t)$ 이다. $W_Q(t)$ 와 $y_{(n_1, \dots, n_m)}(t)$ 의 LST를 $W_Q^*(s)$ 와 $y_{(n_1, \dots, n_m)}^*(s)$ 로 표기한다. 이때, $W_Q^*(s) = \int_0^\infty e^{-st} dW_Q(t)$ 이고 $y_{(\dots)}^*(s) = \int_0^\infty e^{-st} y_{(\dots)}(t) dt$ 이다. 그리고 $z(t)$ 와

$y_i(t)$ 의 LST 벡터를 $z^*(s)$ 와 $y_i^*(s)$ 로 표기한다. (8.2)의 양변에 LST를 취하면

$$z^*(s) = z(0)(sI - C_1)^{-1} + y_1^*(s)C_2(sI - C_1)^{-1} \tag{9}$$

이다. (8.3)의 양변에 LST를 취하고 반복적으로 풀면 다음을 얻는다.

$$y_i^*(s) = \sum_{j=1}^\infty y_j(0) [(sI - D)^{-1} A^j A^{-1}] \tag{10}$$

그리고 식 (7)과 (8.1)에 LST를 취하면 $W_Q^*(s)$ 는 다음과 같이 표현된다.

$$W_Q^*(s) = z^*(s)b_1 + y_1^*(s)b_2 \tag{11}$$

(9), (10) 그리고 초기조건 $y(0) = [x_0, x_1, \dots]$ 을 (11)에 대입하면 $W_Q^*(s)$ 를 얻는다. 아울러, 식 (12)를 미분하면 평균 대기시간을 얻는다.

$$W_Q^*(s) = z(0)(sI - C_1)^{-1}b_1 + \sum_{i=1}^\infty x_i [(sI - D)^{-1} A^i A^{-1} [C_2(sI - C_1)^{-1}b_1 + b_2]] \tag{12}$$

$$E[W_Q] = z(0)C_1^{-1}b_1 + \sum_{i=1}^\infty x_i \left[\sum_{r=0}^{i-1} H^r (-D)^{-1} H^{-r} \right] A^{-1}b_2 + \sum_{i=1}^\infty x_i \left[H^i A^{-1} C_1^{-1} + \left[\sum_{r=0}^{i-1} H^r D^{-1} H^{-r} \right] A^{-1} C_1 C_1^{-1} \right] b_1 \tag{13}$$

여기에서 $z(0) = [x_{(0, \dots, 1)}, \dots, x_{(0, K, \dots, K)}]$ 이고 $H = -D^{-1}A$ 이다.

4. 수치예

표 1은 서비스율(service rate)과 채널의 용량을 달리하며 3-채널인 분기 및 접합 형태를

갖는 대기행렬 모형의 시스템내 평균 집단수, 평균 대기시간 그리고 차단확률을 구한 것이다. 여기에서 $\rho_j = \lambda / \mu_j, j=1,2,3$ 이다. 그리고

표 1. 3-채널 분기 및 접합형태를 갖는 대기행렬 모형의 수치예

| ρ_1 | ρ_2 | ρ_3 | K | E[N] | E[W _Q] | 차단확률(P _b) |
|----------|----------|----------|----|--------|--------------------|-----------------------|
| 0.1 | 0.1 | 0.1 | 10 | 0.2011 | 0.0254 | 0.0000000002 |
| 0.2 | 0.2 | 0.2 | 10 | 0.4465 | 0.1108 | 0.0000001628 |
| 0.2 | 0.2 | 0.2 | 15 | 0.4465 | 0.1108 | 0.0000000001 |
| 0.3 | 0.3 | 0.3 | 10 | 0.7553 | 0.2755 | 0.0000081559 |
| 0.3 | 0.3 | 0.3 | 15 | 0.7553 | 0.2755 | 0.0000000200 |
| 0.4 | 0.4 | 0.4 | 10 | 1.1586 | 0.5509 | 0.0001224767 |
| 0.4 | 0.4 | 0.4 | 15 | 1.1595 | 0.5517 | 0.0000012799 |
| 0.4 | 0.4 | 0.4 | 20 | 1.1595 | 0.5518 | 0.0000000132 |

E[N]은 (3)에서 그리고 E[W_Q]는 (5)에서 얻었다. $\rho_1 = \rho_2 = \rho_3 = 0.1$ 경우처럼 ρ_j 가 작을 때는 K가 작아도 P_b가 충분히 작아진다. 또한 2절에서 언급한 바와 같이, $\rho_1 = \rho_2 = \rho_3 = 0.4$ 이고 K=10인 경우와 같이, P_b가 충분히 작지 않을 때는 E[N]을 하한치로 이용할 수 있다.

5. 결론

본 논문에서는 QBD 모형을 이용하여 각 채널의 용량이 무한대인 분기 및 접합형태를 갖는 대기행렬 모형의 각 채널내 고객수의 안정상태 확률과 대기시간을 근사적으로 분석하였다. 첫 번째 채널의 용량을 무한대로 그리고 나머지 채널들의 용량을 유한인 K라고 가정한 QBD 모형은 유사 출생사망과정으로 분석할 수 있다. 각 채널당 고객수의 안정상태 확률은 행렬기하해를 갖고 알고리즘을 통해 그 해를 구할 수 있다. 도착율에 따

라 K가 충분히 크면 차단확률이 0에 가까워져 각 채널의 용량이 무한대인 시스템의 근사적인 효과를 갖는다.

2절에서는 알고리즘적인 접근을 통해 각 채널내 고객수의 안정상태 확률을 구하였다. 3절에서는 조건부 평균 대기시간의 축차관계식을 이용하여 평균 대기시간을 구하였다. 아울러, 흡수 연속 마코프사슬 이용하여 대기시간의 LST를 유도하고 평균 대기시간을 급수(series)의 형태로 나타내었다.

감사의 글

본 논문의 내용을 명확하게 설명할 수 있도록 건설적인 조언을 주신 심사위원께 감사드립니다.

참고 문헌

- [1] Flatto, L. and S. Hahn, "Two Parallel queues created by arrivals with two demands I", SIAM J. Appl. Math., Vol.44, No.5, pp.1041-1053, 1984.
- [2] Flatto L., "Two Parallel queues created by arrivals with two demands II", SIAM J. Appl. Math., Vol.45, No.5, pp.861-878, 1985.
- [3] Kim, C. and A. K. Agrawala, "Analysis of the fork-join queue", IEEE Transactions on Computers, Vol.38, No.2, pp.250-255, 1989.
- [4] Kumar, A. and R. Shorey, "Performance Analysis and Scheduling of Stochastic Fork-Join Jobs in a Multicomputer System", IEEE Transactions on Parallel and Distri-

- buted Systems, Vol.4, No.10, pp.1147-1164, 1993.
- [5] Liu, Y. C. and H. G. Perros, "A Decomposition Procedure for the Analysis of a Closed Fork/Join Queueing Systems", IEEE Transactions on Computers, Vol.40, No.3, pp.365-370, 1991
- [6] Narahari, Y. and P. Sundarajan, "Performance Analysis of Fork-Join Queueing Systems", Journal of the Operational Research Society, Vol.46, No.10, pp.1237-1249, 1995.
- [7] Nelson, R. and A. N. Tantawi, "Approximate analysis of fork/join synchronization in parallel queues", IEEE Transactions on Computers, Vol.37, No.6, pp.739-743, 1988.
- [8] Nelson, R., D. Towsley and A. N. Tantawi, "Performance Analysis of Parallel Processing Systems", IEEE Transactions on Software Engineering, Vol.14, No.4, pp. 532-539, 1988.
- [9] Neuts, M. F., Matrix-Geometric Solutions in Stochastic Models : An Algorithmic Approach, The Johns Hopkins University Press, Baltimore, 1981.
- [10] Rao B. M. and M. J. M. Posner, "Algorithmic and Approximation Analysis of the Split and Match Queue", Commun. Statistics-Stochastic Models, Vol.1, No.3, pp.433-456, 1985.
- [11] Rao B. M., "On the departure process of the split and match queue", Computers Opns. Res., Vol.17, No.6, pp.349-357, 1990.
- [12] Setia, S. K., M. S. Squillante and S. K. Tripathi, "Analysis of Processor Allocation in Multiprogrammed, Distributed-Memory Parallel Processing Systems", IEEE Transactions on Parallel and Distributed Systems, Vol.5, No. 4, pp.401-420, 1994.
- [13] Wolff, R. W., "Poisson Arrival See Time Averages", Operations Research, Vol.30, pp.223-231, 1982.
- [14] Zhang, Z., "Analytical results for waiting and system size distributions in two parallel queueing systems", SIAM J. Appl. Math., Vol.50, No.4, pp.1176-1193, 1990.

96년 3월 최초 접수, 96년 6월 최종 수정

부록 : 식 (2)의 한정조건 증명

$\max(n_2, \dots, n_m) = K$ 이면 고객들이 시스템 내로 입장하지 못하므로

$$P_b = P[\max(n_2, \dots, n_m) = K] = 1 - P[n_2 < K, \dots, n_m < K]$$

$$= 1 - \sum_{n_1=0}^{\infty} \sum_{n_2=0}^{K-1} \dots \sum_{n_m=0}^{K-1} x_{(n_1, \dots, n_m)} \quad (A1)$$

이다.

QBD 모형에서 채널 1을 떼어낸, 즉, 용량이 K 인 채널 $2, \dots, m$ 으로 구성된 분기 및 접합형태를 갖는 대기행렬 모형의 시스템 상태를 (n_2, \dots, n_m) , 안정상태 확률을 $h_{(n_2, \dots, n_m)}$ 이라 하자. 먼저, $h_{(n_2, \dots, n_m)}$ 의 평형식(balance equation)은 다음과 같다.

$$\begin{aligned} & [\lambda \delta(n_j \langle K, j=2, \dots, m \rangle + \sum_{j=2}^m \mu_j \delta(n_j \rangle 0)] h_{(n_2, \dots, n_m)} \\ &= \sum_{j=2}^m \mu_j \delta(n_j \langle K) h_{(n_2, \dots, n_{j-1}, \dots, n_m)} + \lambda \delta(n_j \rangle 0, j=2, \dots, m) h_{(n_2-1, \dots, n_{m-1})} \end{aligned} \tag{A2}$$

그리고 $x_{(n_1, \dots, n_m)}$ 의 평형식은 다음과 같다.

$$\begin{aligned} & [\lambda \delta(n_j \langle K, j=2, \dots, m \rangle + \mu_1 \delta(n_1 \rangle 0) + \sum_{j=2}^m \mu_j \delta(n_j \rangle 0)] x_{(n_1, n_2, \dots, n_m)} \\ &= \mu_1 x_{(n_1+1, n_2, \dots, n_m)} + \sum_{j=2}^m \mu_j \delta(n_j \langle K) x_{(n_1, \dots, n_{j+1}, \dots, n_m)} + \lambda \delta(n_j \rangle 0, j=1, \dots, m) x_{(n_1-1, \dots, n_{m-1})} \end{aligned} \tag{A3}$$

(A3)을 n_1 에 대해 합하면 (A3) 좌변의 두 번째 항의 합이

$$\sum_{n_1=0}^{\infty} \delta(n_1 \rangle 0) x_{(n_1, \dots, n_m)} = \sum_{n_1=1}^{\infty} x_{(n_1, \dots, n_m)} = \sum_{n_1=0}^{\infty} x_{(n_1+1, n_2, \dots, n_m)}$$

이기 때문에, (A3) 우변의 첫 번째 항의 합과 소거되고, 이렇게 정리된 식을 (A2)와 비교하면

$$h_{(n_2, \dots, n_m)} = \sum_{i=0}^{\infty} x_{(i, n_2, \dots, n_m)} \tag{A4}$$

임을 쉽게 보일 수 있다.

QBD 모형은 $\pi A_* e \langle \pi A_- e$ 이면 양의재귀적(positive recurrent)이다 [9]. 이때 π 는 $A = A_- + A_0 + A_*$ 의 안정상태에서의 확률벡터이고 e 는 원소들이 모두 1인 열벡터(column vector)이다. 행렬 A 를 계산하면 A 는 용량이 K 인 채널 $2, \dots, m$ 으로 구성된 분기 및 접합형태를 갖는 대기행렬 모형의 무한소 생성자가 됨을 쉽게 알 수 있다. 그러므로 $\pi = (h_{(n_2, \dots, n_m)} \mid n_j = 0, \dots, K)$ 이다. 이때, $h_{(n_2, \dots, n_m)}$ 들은 x_i 의 원소들과 같은 순서로 정렬되어 있다. 먼저, $\pi A_- e = \mu_1$ 이다. 그리고

$$\pi A_* e = \lambda \sum_{n_2=0}^K \dots \sum_{n_m=0}^K h_{(n_2, \dots, n_m)} \prod_{j=2}^K \delta(n_j \langle K) \tag{A5}$$

이다. (A1)과 (A4)를 이용하여 (A5)를 정리하면 $\pi A_* e = \lambda(1 - P_b)$ 를 얻는다.